

Fig. 2. Part of the structure between $x = 0$ and $x = 0.25$ of Nd_3RuO_7 , projected along the a axis. Fractional coordinates of the atoms along the a axis are given.

be seen in Fig. 2 and from the $\text{Nd}1-\text{O}1$ and $\text{Nd}1-\text{O}2$ distances in Table 2.

The $\text{Nd}2$ atoms are surrounded by seven O atoms; four $\text{Nd}2-\text{O}1$, two $\text{Nd}2-\text{O}2$ and one $\text{Nd}2-\text{O}3$ distance. One $\text{O}3$ atom lies too far away for eight-

coordination, because of the tilting of the RuO_6 octahedra.

This Ln_3RuO_7 system exists only for $\text{Ln} = \text{Nd}$, Sm and Eu (van Berkel & IJdo, 1986).

The magnetic behaviour of this compound is under investigation.

This research project was partly financed by the Commission of the European Communities. The authors are indebted to Mr J. F. Strang and Dr R. B. Helmholdt of the Energie-onderzoek Centrum Nederland, Petten, for the collection of the neutron diffraction data.

References

- BERKEL, F. P. F. VAN & IJDO, D. J. W. (1986). *Mater. Res. Bull.* **21**, 1103–1106.
- BERTAUT, F., FORRATANA, F. & MONTMORY, M. C. (1959). *C. R. Acad. Sci.* **249**, 829–835.
- DIXON, S., MARR, J., LACHOWSKI, E. E., GARD, J. A. & GLASSER, P. (1980). *Mater. Res. Bull.* **15**, 1811–1816.
- KOESTER, L., RAUCH, H., HERKENS, M. & SCHROEDER, K. (1981). Report 1755. Kernforschungsanlage Jülich.
- RIETVELD, H. M. (1969). *J. Appl. Cryst.* **2**, 65–71.
- RINGWOOD, A. E. (1978). In *Safe Disposal of High-Level Nuclear Wastes: A New Strategy*. Canberra, Australia: ANU Press.
- ROSSELL, H. J. (1979). *J. Solid State Chem.* **27**, 115–122.
- WEBER, K. (1967). *Acta Cryst.* **23**, 720–725.

Acta Cryst. (1987). C43, 2264–2266

Synthèse et Structure du Diborouranate de Magnésium, MgB_2UO_7

PAR MADELEINE GASPERIN

Laboratoire de Minéralogie–Cristallographie associé au CNRS, Université P. et M. Curie, 4 place Jussieu,
75252 Paris CEDEX 05, France

(Reçu le 13 février 1987, accepté le 27 juillet 1987)

Abstract. $M_r = 396.03$, orthorhombic, $Pcam$, $a = 9.747(3)$, $b = 7.315(2)$, $c = 7.911(2)$ Å, $V = 564.05$ Å 3 , $Z = 4$, $D_x = 4.7$ Mg m $^{-3}$, $\lambda(\text{Mo } \text{Ka}) = 0.7107$ Å, $\mu = 27.4$ mm $^{-1}$, $F(000) = 680$, $T = 290$ K; 1997 contributing reflections, $R = 0.034$, $wR = 0.043$. All the atoms, except O(3), are located in sheets perpendicular to [00z]. U^{6+} and Mg^{2+} are surrounded by octahedra, with, for U^{6+} , a uranyl bond [$\text{O}(3)-\text{U}-\text{O}(3) = 1.80$ Å] along the c axis. B atoms are in triangular B_2O_5 groups. In the [00z] direction, the UO_6 and MgO_6 polyhedra are joined by corners and form $\text{Mg}-\text{O}-\text{U}$ chains. $\text{U}-\text{O}$ distances vary between 1.79 and 2.35 Å, $\text{Mg}-\text{O}$ between 2.0 and 2.17 Å and $\text{B}-\text{O}$ between 1.35 and 1.43 Å.

Introduction. Ce travail s'insère dans l'étude des borouranates d'alcalino terreux et fait suite à la

description de $\text{CaB}_2\text{U}_2\text{O}_{10}$ publiée récemment (Gasperin, 1987). En effet, si plusieurs phases oxydées contenant du bore, de l'uranium et un alcalin ont été signalées (Hoekstra, 1967), aucun composé de ce type n'avait jusqu'ici été mis en évidence avec un ion bivalent.

Partie expérimentale. Chauffage à l'air à 1473 K pendant 15 heures de U_3O_8 , MgCO_3 , B_2O_3 avec 1U+4Mg+18B. Après lavage à l'eau bouillante, plaquettes transparentes incolores.

Symétrie orthorhombique $Pcam$ ou $Pca2_1$ mise en évidence sur film. Plaquette (001) allongée selon [100]. Dimension maximale: 140 µm; dimension minimale: 30 µm. Diffractomètre Philips PW 1100, monochromateur en graphite, méthode d'intégration $\omega/2\theta$ avec 0.02°θ s $^{-1}$. Paramètres affinés par moindres carrés à

partir de 25 réflexions entre 10 et 15°. 2117 réflexions indépendantes non nulles avec $5 \leq \theta \leq 45^\circ$, $0 \leq h \leq 19$, $0 \leq k \leq 14$, $0 \leq l \leq 15$. Trois réflexions de référence: $\bar{3}\bar{3}1$, $\bar{2}\bar{4}\bar{2}$, $\bar{3}\bar{3}\bar{1}$ mesurées toutes les heures avec une variation moyenne d'intensité de 0,0013. Correction de l'absorption par la méthode analytique de Meulenaer & Tompa (1965). Transmission comprise entre 0,025 et 0,232.

Les sections de Patterson tridimensionnelles donnent le site de l'uranium. Les séries-différence de Fourier donnent les autres atomes. Affinements par moindres carrés [AFINE, modification du programme de Busing, Martin & Levy (1963)] des coordonnées atomiques et des facteurs de température isotropes, puis anisotropes. Le passage dans le groupe non centré $Pca2_1$ n'améliore pas les résultats. Fonction minimisée $\sum w(\Delta F^2)$ avec $w = 1/\sigma^2$. $R = 0,034$, $wR = 0,043$ pour les 1997 réflexions telles que $I \geq 3\sigma(I)$.* Au dernier cycle, $S = 2,85$; $(\Delta/\sigma)_{\max} = 0,3$; $\Delta\rho_{\max} = 3 \text{ e } \text{\AA}^{-3}$ localisé au voisinage du site de l'uranium. Facteurs de diffusion extraits de *International Tables for X-ray Crystallography* (1974), dispersion anomale prise en compte pour U. Ordinateur utilisé: MATRA 570/CX.

Discussion. Les paramètres atomiques et les facteurs de température isotropes équivalents sont reportés dans le Tableau 1. Les distances et les angles des polyèdres entourant les cations figurent dans le Tableau 2.

La structure est constituée de feuillets perpendiculaires à [001]. Ils contiennent tous les atomes à l'exception de O(3). La Fig. 1 représente un de ces feuillets à la cote $z = \frac{1}{4}$.

* Les listes des facteurs de structure et des paramètres thermiques anisotropes ont été déposées au dépôt d'archives de la British Library Document Supply Centre (Supplementary Publication No. SUP 44283: 13 pp.). On peut en obtenir des copies en s'adressant à: The Executive Secretary, International Union of Crystallography, 5 Abbey Square, Chester CH1 2HU, Angleterre.

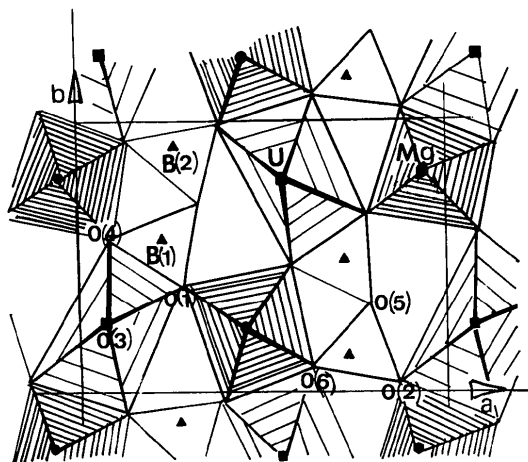


Fig. 1. Projection de la structure de MgB_2UO_4 sur le plan $(hk0)$ en $z = \frac{1}{4}$.

Tableau 1. Positions atomiques ($\times 10^4$) et paramètres d'agitation thermique équivalents (\AA^2)

	x	y	z	B_{eq}
U	501 (1)	2255 (1)	2500	0,5 (1)
Mg	4519 (2)	2353 (3)	2500	0,6 (1)
B(1)	2135 (7)	5318 (9)	2500	0,8 (2)
B(2)	2581 (7)	8739 (8)	2500	0,8 (2)
O(1)	2685 (5)	3623 (6)	2500	0,9 (1)
O(2)	8686 (5)	169 (6)	2500	0,9 (1)
O(3)	484 (4)	2278 (5)	4764 (5)	1,2 (1)
O(4)	750 (5)	5444 (6)	2500	0,9 (1)
O(5)	7997 (5)	3147 (6)	2500	1,2 (1)
O(6)	6268 (5)	745 (6)	2500	0,9 (1)

Positions équivalentes: (i) x, y, z ; (ii) $-x, -y, -z$; (iii) $\frac{1}{2}-x, y, -z$; (iv) $\frac{1}{2}+x, -y, \frac{1}{2}-z$; (v) $-x, -y, -z$; (vi) $x, y, \frac{1}{2}-z$; (vii) $\frac{1}{2}-x, -y, z$; (viii) $\frac{1}{2}-x, y, \frac{1}{2}-z$.

Tableau 2. Distances (\AA) et angles ($^\circ$) dans les polyèdres

U—O(3)	1,791 (4)	U—O(2)	2,336 (4)
U—O(3)	1,791 (4)	U—O(4)	2,346 (4)
U—O(6)	2,318 (4)	U—O(1)	2,352 (5)
O(3)—U—O(3)	178,512 (26)	O(3)—U—O(1)	90,249 (201)
O(3)—U—O(6)	90,670 (203)	O(6)—U—O(2)	68,045 (152)
O(3)—U—O(2)	89,949 (233)	O(6)—U—O(4)	155,209 (161)
O(3)—U—O(4)	89,528 (25)	O(6)—U—O(1)	96,344 (152)
O(3)—U—O(1)	90,249 (201)	O(2)—U—O(4)	136,746 (154)
O(3)—U—O(6)	90,670 (205)	O(2)—U—O(1)	164,389 (149)
O(3)—U—O(2)	89,949 (236)	O(4)—U—O(1)	58,865 (155)
O(3)—U—O(4)	89,528 (25)		
Mg—O(4)	2,009 (5)	Mg—O(6)	2,071 (5)
Mg—O(1)	2,015 (5)	Mg—O(3)	2,165 (5)
Mg—O(2)	2,015 (5)	Mg—O(3)	2,165 (5)
O(4)—Mg—O(1)	99,214 (201)	O(1)—Mg—O(3)	96,608 (244)
O(4)—Mg—O(2)	167,078 (223)	O(2)—Mg—O(6)	79,147 (194)
O(4)—Mg—O(6)	87,930 (200)	O(2)—Mg—O(3)	88,637 (276)
O(4)—Mg—O(3)	91,212 (303)	O(2)—Mg—O(3)	88,637 (276)
O(4)—Mg—O(3)	91,212 (303)	O(6)—Mg—O(3)	89,232 (243)
O(1)—Mg—O(2)	93,709 (201)	O(6)—Mg—O(3)	89,232 (242)
O(1)—Mg—O(6)	172,856 (199)	O(3)—Mg—O(3)	177,081 (23)
O(1)—Mg—O(3)	90,608 (244)		
B(1)—O(1)	1,350 (8)	B(2)—O(6)	1,334 (8)
B(1)—O(4)	1,353 (9)	B(2)—O(2)	1,341 (8)
B(1)—O(5)	1,402 (8)	B(2)—O(5)	1,438 (8)
O(1)—B(1)—O(4)	117,272 (561)	O(6)—B(2)—O(2)	127,002 (528)
O(1)—B(1)—O(5)	119,865 (590)	O(6)—B(2)—O(5)	122,790 (545)
O(4)—B(1)—O(5)	122,863 (558)	O(2)—B(2)—O(5)	110,208 (543)
O(1)—O(4)	2,309 (6)	O(2)—O(3)	2,923 (8)
O(1)—O(5)	2,382 (6)	O(2)—O(3)	2,942 (7)
O(1)—O(2)	2,941 (6)	O(2)—O(3)	2,942 (7)
O(1)—O(3)	2,963 (7)	O(3)—O(4)	2,940 (7)
O(1)—O(3)	2,963 (7)	O(3)—O(6)	2,946 (6)
O(1)—O(3)	2,973 (7)	O(3)—O(6)	2,976 (7)
O(1)—O(3)	2,973 (7)	O(3)—O(4)	2,985 (8)
O(2)—O(5)	2,280 (6)	O(4)—O(5)	2,420 (7)
O(2)—O(6)	2,394 (6)	O(4)—O(6)	2,833 (6)
O(2)—O(6)	2,604 (6)	O(5)—O(6)	2,434 (6)
O(2)—O(3)	2,923 (8)		
U—B(1)	2,749 (7)	U—Mg	3,956 (4)
U—B(2)	2,937 (7)	Mg—B(1)	3,067 (7)
U—B(2)	3,275 (6)	Mg—B(2)	3,090 (7)
U—Mg	3,504 (2)	Mg—B(1)	3,178 (7)
U—B(1)	3,730 (7)	Mg—B(2)	3,249 (7)
U—Mg	3,918 (2)	B(1)—B(2)	2,540 (9)
U—Mg	3,956 (4)	B(2)—B(2)	3,959 (1)

L'uranium est entouré d'un octaèdre aplati composé de quatre oxygènes dans le plan des feuillets et une liaison uranyle O(3)–U–O(3) pratiquement perpendiculaire de 1,79 Å. Le magnésium est également au centre d'un octaèdre et dans le plan des feuillets, les polyèdres MgO_6 et UO_6 sont liés entre eux par une arête et un sommet. Les atomes de bore sont au centre de triangles plans reliés par paires par l'atome O(5). Ils sont joints par les sommets aux octaèdres entourant le magnésium et par l'arête O(1)–O(4) aux polyèdres entourant l'uranium. Les atomes O(1), O(2), O(4) et O(6) sont donc communs à trois cations. Dans la direction perpendiculaire, la cohésion de la structure est assurée par les atomes O(3) qui relient dans la direction z les octaèdres UO_6 et MgO_6 , formant des chaînes Mg–O–U. Cette disposition en feuillets explique bien la forme des cristaux aplatis selon [00z] et toutes les distances sont conformes aux normes habituelles.

Enfin, le point commun entre ce diborouranate et $CaB_2U_2O_{10}$ (Gasperin, 1987) est qu'ils contiennent tous deux des entités $(B_2O_5)^{4-}$ rencontrées pour la première fois dans $TlNbB_2O_6$ (Gasperin, 1974).

Références

- BUSING, W. R., MARTIN, K. O. & LEVY, H. A. (1963). ORFLS. Rapport ORNL-TM-305. Oak Ridge National Laboratory, Tennessee, Etats-Unis.
- GASPERIN, M. (1974). *Acta Cryst.* **B30**, 1180–1183.
- GASPERIN, M. (1987). *Acta Cryst.* **C43**, 1247–1250.
- HOEKSTRA, H. R. (1967). *Lanthanides/Actinides Chemistry, Advances in Chemistry Series No. 71*, édité par R. F. GOULD, pp. 320–330. Washington, DC: American Chemical Society.
- International Tables for X-ray Crystallography* (1974). Tome IV. Birmingham: Kynoch Press. (Distributeur actuel D. Reidel, Dordrecht.)
- MEULENAER, J. DE & TOMPA, H. (1965). *Acta Cryst.* **19**, 1014–1018.

Acta Cryst. (1987). **C43**, 2266–2268

Structure of Barium Metavanadate Monohydrate

BY Ľ. Ulická

Department of Inorganic Chemistry, Faculty of Natural Sciences, Comenius University,
842 15 Bratislava, Czechoslovakia

F. Pavelčík

Department of Analytical Chemistry, Faculty of Pharmacy, Comenius University,
832 32 Bratislava, Czechoslovakia

AND K. Huml

Institute of Macromolecular Chemistry, Czechoslovak Academy of Sciences, 162 06 Prague 6, Czechoslovakia

(Received 21 April 1987; accepted 27 July 1987)

Abstract. $Ba(VO_3)_2 \cdot H_2O$, $M_r = 353.22$, orthorhombic, $P2_12_12_1$, $a = 8.997$ (2), $b = 9.728$ (2), $c = 7.409$ (1) Å, $V = 648.5$ (2) Å³, $Z = 4$, $D_m = 3.604$, $D_x = 3.617$ g cm⁻³, Mo $K\alpha$, $\lambda = 0.71069$ Å, $\mu = 91.375$ cm⁻¹, $F(000) = 640$, room temperature, $R = 0.039$ for 1310 independent reflections. Each V atom is coordinated by four O atoms forming a tetrahedron which is connected with others to form a twisted spiral parallel to c. The Ba atom is coordinated by nine O atoms and one water molecule.

Introduction. The common structural feature of the hydrated metavanadates determined so far is the presence of chains formed by connection of VO_5 polyhedra. Fivefold V coordination was found by Christ, Clark & Evans (1954) in $KVO_3 \cdot H_2O$, by Kelsey

& Barnes (1962) in $Ca(VO_3)_2 \cdot 2H_2O$, by Ahmed & Barnes (1963) in $Ca(VO_3)_2 \cdot 4H_2O$, by Sedlacek & Dornberger-Schiff (1965) in $Sr(VO_3)_2 \cdot 4H_2O$, by Safjanov, Bočkova, Kuzmin & Belov (1976) in $Co(VO_3)_2 \cdot 4H_2O$ and by Ulická (1987) in $Cd(VO_3)_2 \cdot 4H_2O$. This uniformity of the VO_5 polyhedra is particularly surprising in the case of $KVO_3 \cdot H_2O$ since, according to Petrásiová, Maďar & Hanic (1958), anhydrous KVO_3 consists of chains of VO_4 tetrahedra. Fourfold O-atom coordination of V atoms is also typical for the other anhydrous metavanadates of composition M^IVO_3 . It is therefore desirable to examine the factors which influence the coordination number of vanadium in the metavanadates, since the small number of available structure determinations does not provide conclusive information. The crystal structure of